

SYNTHESE UND AUSWERTUNG DER BIOLOGISCHEN AKTIVITÄT VON NEUEN
3,4-DISUBSTITUIEREN 4-THIAZOLIN-2-ON-2-(α,α -DIPHENYL- α -HYDROXY
ACETHYL)HYDRAZON DERIVATEN

3,4-DİSÜBSTİTÜE 4-TİYAZOLİN-2-ON-2(α,α -DİFENİL- α -HİDROKSİASETİLHİDRAZON
TÜREVİ YENİ MADDELERİN SENZEZİ VE BİYOLOJİK AKTİVİTELƏRİNİN
DEĞERLENDİRİLMESİ

ESER İLHAN¹, NEDİME ERGENÇ¹, MUAMMER KİRAZ², GÜLTEN ÖTÜK³

¹Istanbul University, Faculty of Pharmacy, Dept. Pharmaceutical Chemistry 34452 Istanbul,

²Faculty of Medicine, Dept. Microbiology 34390 Istanbul,

³Faculty of Pharmacy, Dept. Microbiology 34452 Istanbul,
TURKEY

Treatment of 1-(α,α -diphenyl- α -hydroxyacetyl)-4 - substituted 3 - thiosemicarbazides (1a-e), described in our previous studies, with appropriate ω -bromoacetophenones afforded 3,4 -disubstituted 4-thiazolin-2-one-2-(α,α -diphenyl- α -hydroxyacetyl)hydrazone (2a-n).

Analytical and spectral data (IR, ¹H-NMR, EIMS) confirmed the expected structures. The synthesized compounds were subjected to a variety of tests for biological activity and screened for antibacterial, tuberculostatic and antifungal properties.

Daha önceki çalışmalarımızda sentezlemiş olduğumuz 1 - (α,α - difenil - α - hidroksiasetil)-4-sübstitüe 3-tiyosemikarbazid yapısındaki maddeler (1a-e) değişik ω -bromoasetofenonlarla reaksiyona sokularak 3,4-disubstitue 4-tiyazolin-2-on-2-(α,α -difenil- α -hidroksiasetil)hidrazonlar (2a-n) elde edilmiştir.

Analitik ve spektral veriler (IR, ¹H-NMR, EIMS) önerilen yapıyı doğrulamaktadır. Sentezlenen maddeler biyolojik aktiviteleri yönünden de değişik incelemelere tabi tutulmuş, bu bağlamda antibakteriyel, tüberkülostatik ve antifungal etkileri araştırılmıştır.

Keywords: Thiazoline; Hydrazone; Synthesis;
Antimicrobial; Antifungal; Tuber-
culostatic activity

Anahtar Kelimeler: Tiyazolin; Hidrazon; Sen-
tez; Antimikrobiyal; Anti-
fungal; Tüberkülostatik
aktivite

Einführung

Der Thiazolidingrundstruktur wird verschiedene biologische Aktivitäten zugeschrieben (1-4), sodaß es uns interessant vorkommt, Verbindungen dieser Klasse darzustellen. Da über die Synthese der Thiazolidinon-hydrazone aus Thiosemicarbaziden (5) wenig gearbeitet ist, haben wir als Ausgangsmaterial die auch von uns dargestellten Verbindungen 1a-e gewählt (6).

Materials und Methode

Die Schmelzpunkte sind mit einem Büchi 530 Schmelzpunkt bestimmungsapparat bestimmt und sind unkorrigiert. Die Spektren wurden aufgenommen mit Perkin Elmer 577 [IR], Bruker AC

200 (200 MHz) [NMR] und VG Zab Spec (70eV) [El-Mass]. Die Elementaranalysen wurden auf Carlo-Erba 1106 Analyser durchgeführt. Sie stimmen innerhalb der Fehlertoleranzen mit den berechneten Werten überein.

Synthesemethode für 3,4-Disubst.-4-thiazolin-2-on-2-(α,α -diphenyl- α -hydroxyacetyl)hydrazone (2a-n)

Eine Lösung von 1a-e (0.05 mol) in 40 ml absolutem Ethanol wurde mit 0.2 mol wasserfreiem Natriumacetat versetzt und unter Zusatz equimolarer Menge der entsprechenden ω -Bromoacetophenonen 2h auf Wasserbad erhitzt. Das Reaktionsgemisch wurde ins Eiswasser gegossen und über Nacht stillgestellt. Nach Ausfiltrieren des Rohproduktes wird es aus Ethanol (%50) umkristallisiert.

2a: IR (KBr)v(cm⁻¹): 3221 (NH, OH), 1654 (C=O) 1578, 1562, 1485 (C=C, C=N).

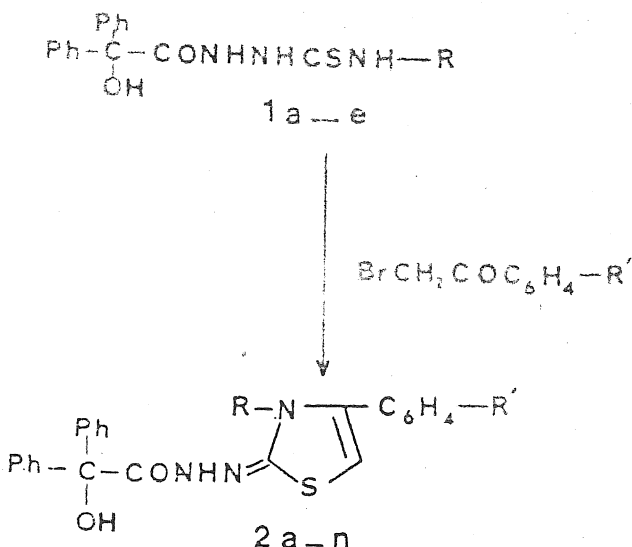
- 2b:** IR (KBr)v(cm⁻¹): 3251 (NH, OH), 1659 (C=O) 1564, 1488, 1446 (C=C, C=N).
2c: IR (KBr)v(cm⁻¹): 3204 (NH, OH), 1630 (C=O) 1558, 1489, 1445 (C=C, C=N).
¹H-NMR (DMSO-d₆) δ ppm: 2.49 (s, 3H, CH₃), 6.24 (s, 1H, CH), 6.67 (s, 1H, OH), 7.29-7.59 (m, 15H, Ph), 9.79 (s, 1H, NH).
2d: IR (KBr)v(cm⁻¹): 3217 (NH, OH) 1635 (C=O), 1587, 1557, 1488, 1460, 1445, (C=C, C=N).
¹H-NMR (DMSO-d₆) δ ppm: 1.02-1.09 (tr., 3H, CH₃), 3.63-3.70 (tet., 2H, -CH₂-), 6.19 (s, 1H, CH), 6.66 (s, 1H, OH), 7.27-7.51 (m, 15H, Ph), 9.84 (s, 1H, NH).
2e: IR (KBr)v(cm⁻¹): 3228 (NH, OH), 1654 (C=O) 1580, 1563, 1488, 1458 (C=C, C=N).
2f: IR (KBr)v(cm⁻¹): 3279 (NH, OH), 1663 (C=O) 1584, 1560, 1489, 1445 (C=C, C=N).
2g: IR (KBr)v(cm⁻¹): 3243 (NH, OH), 1632 (C=O) 1585, 1555, 1489, 1465 (C=C, C=N).
¹H-NMR (DMSO-d₆) δ ppm: 0.60-0.67 (tr., 3H, CH₃), 1.47-1.58 (m., 2H, -CH₂-), 3.59-3.66 (tr., 2H, -NCH₂-), 6.19 (s, 1H, -CH-), 6.67 (s, 1H, OH), 7.29-7.47 (m, 15H, Ph), 9.82 (s, 1H, NH).
2h: IR (KBr)v(cm⁻¹): 3238 (NH, OH), 1664 (C=O) 1583, 1557, 1489, 1465 (C=C, C=N).
2i: IR (KBr)v(cm⁻¹): 3350 (NH, OH), 1666 (C=O) 1546, 1489, 1444, (C=C, C=N).
¹H-NMR (DMSO-d₆) δ ppm: 0.62-0.73 (tr., 3H, CH₃), 0.96-1.10 (m., 2H, -CH₂-), 1.41-1.56 (m, 2H, -CH₂-), 3.63-3.70 (tr., 2H, -N-CH₂-), 6.19 (s, 1H, -CH-), 6.67 (s, 1H, OH), 7.29-7.47 (m, 15H, Ph), 9.82 (s, 1H, NH).
2j: IR (KBr)v(cm⁻¹): 3374 (NH, OH), 1663 (C=O), 1585, 1543, 1489, 1445 (C=C, C=N).
2k: IR (KBr)v(cm⁻¹): 3306 (NH, OH), 1663 (C=O) 1581, 1487, 1446 (C=C, C=N).
2l: IR (KBr)v(cm⁻¹): 3218 (NH, OH), 1662 (C=O) 1576, 1489, 1447 (C=C, C=N).
¹H-NMR (DMSO-d₆) δ ppm: 2.86-2.93 (tr., 2H, -Ph-CH₂-), 3.80-3.87 (tr., 2H, N-CH₂-), 6.11 (s, 1H, -CH-), 6.70 (s, 1H, OH), 7.10-7.54 (m, 20H, Ph), 9.90 (s, 1H, NH).
2m: IR (KBr)v(cm⁻¹): 3243 (NH, OH), 1652 (C=O), 1569, 1490, 1446, (C=C, C=N).
2n: IR (KBr)v(cm⁻¹): 3376 (NH, OH), 1652 (C=O), 1568, 1540, 1487, 1446 (C=C, C=N).

Ergebnisse und Diskussion

Bei dieser Arbeit wurden die Ausgangsverbindungen **1a-e** mit verschie-

denen ω-Bromoacethophenonen in Reaktion gebracht und auf diese Weise wurden 14 neue Verbindungen (**2a-n**) dargestellt.

Der Syntheseweg ist in Shema 1, die physikalischen Daten sowie Ergebnisse der Elementaranalyse sind in Tabelle 1 angegeben. In den IR-Spectren von **2a-n** ist um 3379-3204 cm⁻¹ die charakteristische, breite NH-Bande zu beobachten. In fester Form bildet die OH-Gruppe des Benzylsäuererestes eine intermolekulare H-Bindung (5,7), sodaß die OH-Schwingung in die Grenzen der NH-Schwingung verschoben wird. Die C=O Schwingung der Hydrazoneteilstruktur wurde um 1666-1630 cm⁻¹ beobachtet. In den ¹H-NMR Spektren von **2a-n** wurden die aromatischen Protonen zwischen 7.10-7.59 ppm als multiplett und die OH Protonen zwischen 6.66-6.70 ppm als ein scharfes Singulett erschienen.



Scheme 1

Die NH-Signale zwischen 9.79-9.90 ppm und C₅-H Signale zwischen 6.11-6.24 ppm weisen auf die gelungene Zyklierung hin. (3,4,8,9). In den Massenspektren (EI) von **2c** un **2l**, die

Table 1. Physikalische Daten und Ergebnisse der Elementaranalysen

Substanz	R	R'	Schmelzp. C°	Summenformel Molekulargew	Elementaranalyse (ber./gef.) %N
2a	-CH ₃	-Br	180	C ₂₄ H ₂₀ BrN ₃ O ₂ S (494.41)	8.49 8.35
2b	-CH ₃	-Cl	150	C ₂₄ H ₂₀ ClN ₃ O ₂ S (449.95)	9.33 9.55
2c	-CH ₃	-H	176	C ₂₄ H ₂₁ N ₃ O ₂ S (415.51)	10.11 10.00
2d	-C ₂ H ₅	-H	192	C ₂₅ H ₂₃ N ₃ O ₂ S (429.54)	9.78 9.62
2e	-C ₂ H ₅	-Br	180	C ₂₅ H ₂₂ BrN ₃ O ₂ S (508.45)	8.26 8.65
2f	-C ₂ H ₅	-Cl	194	C ₂₅ H ₂₂ ClN ₃ O ₂ S (463.99)	9.05 8.95
2g	-C ₃ H ₇	-H	143	C ₂₆ H ₂₅ N ₃ O ₂ S (443.57)	9.47 9.47
2h	-C ₃ H ₇	-Cl	173	C ₂₆ H ₂₄ ClN ₃ O ₂ S (478.01)	8.79 8.83
2i	-C ₄ H ₉	-H	149	C ₂₇ H ₂₇ N ₃ O ₂ S (457.60)	9.18 9.25
2j	-C ₄ H ₉	-Cl	168	C ₂₇ H ₂₆ BrN ₃ O ₂ S (536.50)	7.83 7.60
2k	-C ₄ H ₉	-Br	110	C ₂₇ H ₂₆ ClN ₃ O ₂ S (492.04)	8.53 8.60
2l	-CH ₂ CH ₂ Ph	H	135	C ₃₁ H ₂₇ N ₃ O ₂ S (505.64)	8.31 8.07
2m	-CH ₂ CH ₂ Ph	-Cl	119	C ₃₁ H ₂₆ ClN ₃ O ₂ S (540.08)	7.78 8.08
2n	-CH ₂ CH ₂ Ph	-Br	167	C ₃₁ H ₂₆ BrN ₃ O ₂ S (584.54)	7.18 7.53

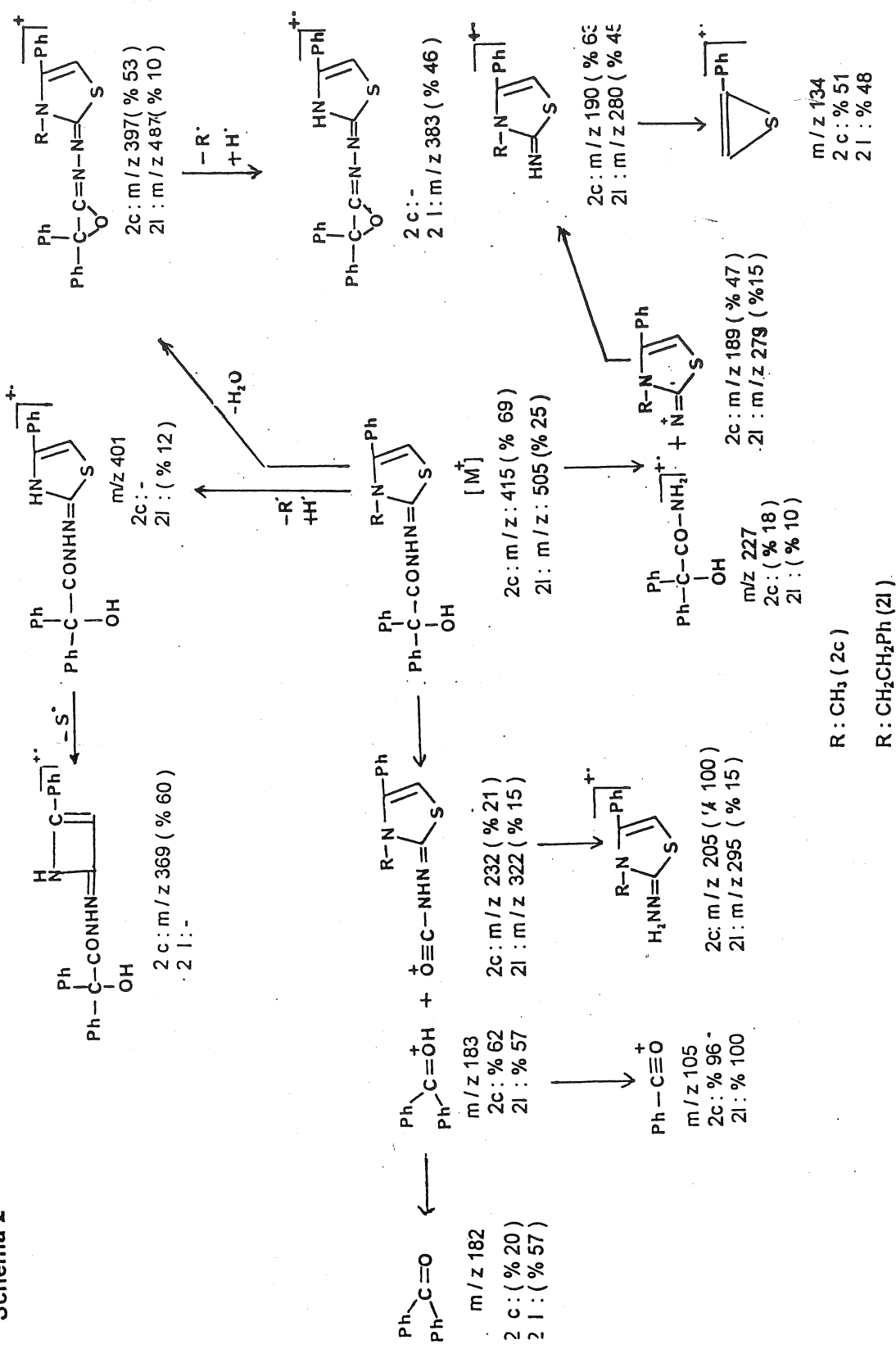
als Prototyp gewählt sind, sind die Molekularionsignalen zu finden. Die Fragmentation der Substanzen entspricht der Fachliteratur (4). Die wichtigsten Fragmentationswege sind in Schema 2 zu finden.

Auswertung der biologischen Aktivität der Substanzen 2a-n

Um die biologische Aktivität der Substanzen 2a-n zu untersuchen, wurden Experimente in Richtung antibakterieller, tuberkulostatischer und fungisider Eigenschaften durchgeführt. In dieser

Hinsicht wurden die Substanzen 2a-e gegen *Klebsiella pneumoniae* ATCC 4852, *Pseudomonas aeruginosa* ATCC 1539, *Proteus mirabilis*, *Staphylococcus aureus* ATCC 6538, *Staphylococcus epidermidis* ATCC 12228, *Escherichia coli* ATCC 8739, *Salmonella typhi*, *Shigella flexneri* und *Salmonella typhi*, *Shigella flexneri* und *C. albicans* mikrobiologisch getestet. Dabei wurden Makrodilution und Diskdiffusionmethoden verwendet. Es wurde keine signifikante Aktivität festgestellt. Nur 2g und 2h haben

Schema 2



schwache Aktivität gegen *S. aureus* ATCC 6538 und *S.epidermidis* ATCC 12228 gezeigt. Die MIC-Weite sind wie folgt:

S.aureus ATCC6538 *S. epidermidis* ATCC 12228

2g	312.5 mcg/ml	156 mcg/ml
2h	312 mcg/ml	78 mcg/ml

Die funguside Aktivität der Substanzen wurde gegen Stämme von *Microsporum canis*, *Microsporum gypseum* NCDF 580 und *Trichophyton rubrum* geprüft. Als Standartsubstanz wurde Clotrimazol genommen. Die Testergebnisse (in mcg) sind in Tab 2. Angegeben.

Tabelle 2. Testergebnisse für antifungale Aktivität

	Microsporum canis	Microsporum gypseum NCDF 580	Trichophyton rubrum
Clotrimazol	<0.4	<0.4	<0.4
2a	<12.5	<12.5	<12.5
2c	12.5	12.5	12.5
2d	<12.5	12.5	<12.5
2e	<12.5	12.5	12.5
2f	<12.5	12.5	12.5
2j	<12.5	<12.5	12.5
2k	<12.5	<12.5	12.5
2s	<12.5	<12.5	12.5
2n	<12.5	<12.5	12.5

Die tüberkulostatische Aktivität der Titelsubstanzen **2a-n** wurde in Southern Research Institute (Colorado-USA) untersucht. Der Reihe nach zeigten die Substanzen **2l** %22, **2e** %13 und **2f** %10 Inhibition.

References

- 1.Garnaik, K.B., Behera, R., Ind. J. Chem., 1988, 27B 1157; Chem. Abst. 1989, 110, 95092 h.
2. Ashour, F., Almazroa, S., Farmaco 1990, 45, 1207
3. İlhan, E., Ergenç, N., Arch. Pharm. (Weinheim) 1992, 325, 435
4. Ergenç, N., Çapan, G., Farmaco 1994, 49, 133
5. Ergenç, N., İlhan, E., Ötük, G., Pharrmazie 47 59 (1992)
6. Bulka, E., Beyér, H., Zöllner, H., Chem.Ber., 96, 1986 (1963)
7. Silverstein, R., Bassler, C., Morril, T., Spectrometric identification of org. Compounds, 4th edition pp, 112-3, John&Sons, (1981)
8. Bhargava, P.N., Prakash, S., Lakhan, R., Indian J.Chem., 20B, 927 (1981)
9. Dutta, M.M., Goswami, B.N., Kataly, J.C.S., J.Ind. Chem.Soc., 67, 332 (1990)

Accepted:29.12.1998